

تاثیر پرسلن پوشاننده و استفاده از لاینر بر استحکام باند ریز کششی سرامیک زیرکونیایی Cercon

مرضیه علی خاصی*# حکیمه سیادت**، عباس منزوی***، محمدعلی ناصری***، صدیقه شیخزاده***

* استادیار پروتزهای دندانی، مرکز تحقیقات، دانشکده دندانپزشکی، دانشگاه علوم پزشکی تهران

** دانشیار پروتزهای دندانی، مرکز تحقیقات، دانشکده دندانپزشکی، دانشگاه علوم پزشکی تهران

*** دانشیار گروه پروتزهای دندانی، دانشکده دندانپزشکی، دانشگاه علوم پزشکی تهران

**** دندانپزشک عمومی

***** دانشجوی دندانپزشکی، دانشکده دندانپزشکی، دانشگاه علوم پزشکی تهران

تاریخ ارائه مقاله: ۱۸/۲/۹۰ - تاریخ پذیرش: ۳/۵/۹۰

The Effect of Porcelain Veneer and Liner Usage on Microtensile Bond Strength of Cercon Zirconia Ceramics

Marzieh Alikhasi*#, Hakimeh Siadat**, Abbas Monzavi***, MohammadAli Naseri****,
Seddigheh Sheikhzadeh*****

* Assistant Professor of Prosthodontics, Dental Research Center, School of Dentistry, Tehran University of Medical Sciences, Tehran, Iran.

** Associate Professor of Prosthodontics, Dental Research Center, School of Dentistry, Tehran University of Medical Sciences, Tehran, Iran.

*** Associate Professor, Dept of Prosthodontics, School of Dentistry, Tehran University of Medical Sciences, Tehran, Iran.
**** Dentist.

***** Dental Student, School of Dentistry, Tehran University of Medical Sciences, Tehran, Iran.

Received: 8 May 2011; Accepted: 25 July 2011

Introduction: Bond strength between veneer ceramic any zirconia framework is the weakest component in the layered structure. This bond was sensitive to the liner application and type of veneer ceramic. This study examined the core-veneer microtensile bond strength of a CAD/CAM (computer aided design/computer assisted manufactured) zirconia ceramic by comparing two ceramic veneers with and without liners.

Materials & Methods: Disc-shaped (19.4×3.5mm) specimens were fabricated using CAD/CAM zirconia core materials (Cercon). Half of the discs were left white and the others were colored with an A2 liner. The specimens were veneered with Ceram Kiss or Zirkonzahn ICE veneering ceramics (3.5 mm). The discs were then cut into microbars (CC, ZC, CW, ZW) and the microtensile strength of the core-veneer bond was calculated. The specimens were analyzed by SEM and the data were compared using one-way ANOVA and Post hoc tests.

Results: The type of veneering ceramic (Ceram Kiss) and liner application (coloring) significantly affected the core-veneer microtensile bond strength ($P<0.0001$). The Zirkonzahn layer (ZC, ZW) did not show significant differences ($P=0.08$).

Conclusion: Careful selection of veneering ceramics and liner applications can be recommended as they have significant roles in microtensile bond strength of core veneered restorations.

Key words: Ceramics, microtensile bond strength, zirconia.

Corresponding Author: m_alikhasi@yahoo.com

J Mash Dent Sch 2012; 35(4): 289-96.

مولف مسؤول، نشانی: تهران، خیابان کارگر شمالی، بالاتر از انرژی اتمی، دانشکده دندانپزشکی، گروه پروتزهای دندانی، تلفن: ۰۹۱۲۲۰۱۴۱۶۰.

E-mail: m_alikhasi@yahoo.com

چکیده

مقدمه: یکی از نقاط ضعف سرامیک‌های زیرکوینایی، باند ضعیف آنها با ونیر پرسلنی است. استفاده از لاینر و نیز پرسلن‌های مختلف برای غلبه بر این امر پیشنهاد شده است. هدف این مطالعه بررسی این دو عامل بر روی استحکام باند ریزکششی در یک نوع سرامیک زیرکوینایی تهیه شده به روش CAD-CAM بود.

مواد و روش‌ها: در این مطالعه آزمایشگاهی-تجربی ۱۲ نمونه دیسکی شکل (Degussa, Hanau, Germany) ساخته شد. نیمی از نمونه‌ها ابتدا با لاینر A2 پوشش داده شده و نیم دیگر بدون رنگ آمیزی آماده شدند. سپس از هر گروه سه دیسک با پرسلن ونیری Ceram kiss و نیم دیگر با پرسلن Zirkonzhan با ضخامت ۳/۵ میلیمتر با استفاده از مولد مخصوص ونیر شدند. به این ترتیب چهار گروه از دیسک‌ها آماده گردید (CC,ZC,CW,ZW). پس از آن دیسک‌ها به صورت میکروبازارهایی (۳۰ میکروبازار در هر گروه) تراش داده شدند و استحکام باند ریزکششی بین کور و نیز پرسلنی اندازه گیری گردید. سپس سطح شکست توسط میکروسکوپ الکترونی ارزیابی گردید. داده‌ها توسط آزمون‌های آماری Post-hoc و One-way ANOVA مورد ارزیابی قرار گرفت.

یافته‌ها: میانگین میزان استحکام باند در گروه‌های سفید (W) و رنگی (C) در استفاده از ونیر Ceram Kiss به ترتیب ۲۶/۶۱ و ۳۴/۹۰ مگاپاسکال و نیز ۲۰/۲ و ۱۶/۴۷ مگاپاسکال تعیین گردید. آزمون آماری نشان داد نوع ونیر و استفاده از لاینر هر دو بر روی باند ریزکششی موثر است ($P<0.001$) و استفاده از لاینر باند قویتری را ایجاد می‌کند.

نتیجه گیری: به دلیل تاثیر نوع ونیر و استفاده از لاینر بر باند ریزکششی کور-ونیر رستورشین‌های زیرکوینایی، انتخاب صحیح پرسلن پوشاننده و کاربرد لاینر برای سرامیک Cercon توصیه می‌شود.
واژه‌های کلیدی: پرسلن، باند ریزکششی، زیرکوینایی.

مجله دانشکده دندانپزشکی مشهد / سال ۱۳۹۰ دوره ۳۵ / شماره ۴ : ۹۶-۲۸۹.

مقدمه

به گلاس پرسلن، افزایشی به میزان ۸۰٪-۲۰٪ در استحکام خمی و مقاومت شکستگی در مقایسه با پرسلن تنها گزارش شده است.^(۳) مطالعات متعددی نشان داده‌اند که زیرکوینایی از سایر سرامیک‌های دندانی محکم‌تر می‌باشد.^(۴) همچنین، بریج‌های زیرکوینایی ماندگاری بیشتری در مقایسه با سایر سرامیک‌های دندانی نشان داده‌اند.^(۵) با این حال، استحکام باند زیرکوینایی به ونیر در ضعف آن مطرح بوده و عواملی چون نحوه آماده‌سازی سطح فریم‌ورک، نوع ونیر سرامیکی مورد استفاده و روش استفاده از ونیر همگی در این استحکام موثر هستند. برای دستیابی به مزایای متعدد مواد کور در پروتزهای دندانی، استحکام باند بین کور و ونیر باید به میزان کافی بوده تا بتوانند استرس‌های فانکشنال را از ونیرهای زیبایی به فریم‌ورک زیرین انتقال دهند.^(۶) علاوه بر این، مشخص گردیده که استحکام باند ونیر به زیرکوینایی به نوع ماده ونیر

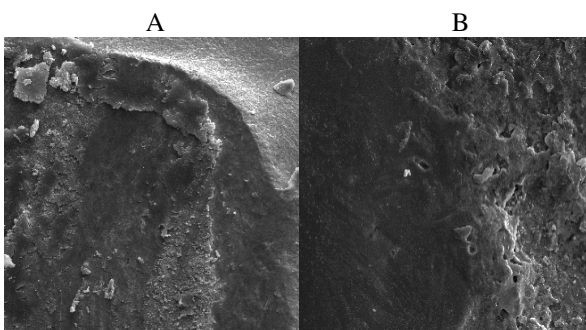
1. Computer aided design/computer aided manufactured

نمونه‌های دیسکی شکل توسط یک وسیله شیشه‌ای با سرگرد با لاینر توصیه شده توسط کارخانه (Degussa, Hanau, Germany) به رنگ A2 به ضخامت ۰/۲۵ میلیمتر پوشش داده شدند. فرآیند Sintering بعد از رنگ‌آمیزی انجام شد و دیسک‌ها به مدت سه ساعت به دمای ۱۵۰۰ درجه سانتی‌گراد رسانده شده و دو ساعت در این دما نگه داشته شدند. تمامی دیسک‌ها طبق دستور کارخانه سازنده Steam Cleaning قرار گرفتند. به این ترتیب دیسک‌ها در ۲ گروه ۶ تایی از نمونه‌های سرامیکی Cercon لاینر زده (رنگی، C) و بدون لاینر (سفید، W) قرار گرفتند. سپس در هر گروه Zirkonzahn ICE (Zirkonzhan ICE Zirkon, Zirkonzhan GmbH, Italy) و Ceram Kiss (Degudent, GmbH, Hanau-wolfgang-Germany) سه دیسک با پرسلن (Zirkonzahn ICE (Z) و Ceram Kiss (C) در آن متراکم گردید و پرسلن گذاری در دو مرحله، در مرحله اول ۱/۵ میلیمتر و در مرحله دوم ۲ میلیمتر با در نظر گرفتن انقباض آنها پخت شد. برای پخت هر نوع پرسلن ونیر از دستور (Austromat 3007, Dekema deutal-keramico fen GmbH Co, Germany) استفاده گردید. نمونه‌ها پس از انجام فرآیند Firing در درون پلی استر شفاف مدفون شدند و بعد از ثابت کردن نمونه‌ها درون دستگاه برش Mecatom C (Presi, France)، ۱۲۰ میکرو بار با ابعاد $1 \times 1 \times 7\text{ mm}$ گروه ۳۰ تایی تهیه شد (CW, ZW, CC). میکروبارها با استفاده از دستگاه استریو میکروسکوپ (SZ Olympus, Tokyo, Japan) با بزرگنمایی ۲۵ برابر بررسی شدند تا در

مورد استفاده و هماهنگی آن با کور زیرین نیز بستگی دارد.^(۸) امروزه انواع مختلف سیستم‌های زیرکونیایی در بازار دندانپزشکی وجود دارد و علیرغم شباهت ساختار شیمیایی آنها، تفاوت‌هایی همچون اختلاف در روش‌های ساخت، مراحل Milling و دمای Sintering در بین آنها وجود دارد. یکی دیگر از این اختلافات تفاوت در نحوه رنگ‌آمیزی این کورهای سفید زیرکونیایی است.^(۹) تکنیک‌های مختلفی نظیر افزودن پیگمان‌های فلزی به پودر زیرکونیای اولیه در قبل یا بعد از فشردن بلوک‌های Milling، غوطه‌ور ساختن فریم‌ورک‌های Milled در عوامل رنگی محلول یا استفاده از مواد لاینر مختلف در فریم‌ورک‌های سفید Sinter شده برای رنگ‌آمیزی فریم‌ورک‌های زیرکونیایی مدنظر بوده است.^(۱۰) تردیدی نیست که روش‌های مختلف رنگ‌آمیزی کور که در سیستم‌های مختلف به کار گرفته شده‌اند، همگی می‌توانند در خصوصیات و عملکرد زیرکونیا موثر باشند.^(۱۱) این تغییر خصوصیت‌ها می‌تواند ناشی از اجزاء رنگی اضافه شده به زیرکونیا از جمله CeO_2 , Fe_2O_3 و Bi_2O_3 باشد. همچنین، دیده شده است که استفاده از عوامل لاینر اثرات آشکاری در بهبود استحکام باند زیرکونیا به ونیر مخصوصاً در سرامیک‌های Press-on داشته است.^(۸) بر این اساس هدف این مطالعه بررسی تاثیر کاربرد دو نوع پرسلن ونیر و استفاده از لاینر بر استحکام باند ریزکششی یک نوع سرامیک CAD-CAM است.

مواد و روش‌ها

در این تحقیق تجربی از یک ماده کور زیرکونیایی Cercon (Zirconia based ceramic, CAD/CAM Degussa, Hanau, Germany) زیرکونیای سفید به گونه‌ای آماده شد که پس از Sintering ابعادی برابر $19/4 \times 3/5\text{ mm}$ داشته باشند. نیمی از



تصویر ۲ : میکروسکوپ الکترونی برای بررسی سطح شکست نمونه‌ها (A) سطح نیبر با بزرگنمایی ۱۰۰۰، B شکست ادھزیو با بزرگنمایی ۳۰۰

یافته‌ها

اطلاعات توصیفی داده‌ها در جدول ۱ ارائه شده است. ابتدا آنالیز واریانس دو عاملی انجام گردید که در آن نوع لاینر و نوع پرسلن پوشاننده عوامل تحت بررسی بودند. نتایج نشان داد که این دو عامل اثر متقابلی بر استحکام باند ریزکشی داشت. لذا از آنالیز One-way ANOVA برای مقایسه چهار گروه استفاده شد، که نشان داد بین گروه‌ها اختلاف معنی داری وجود دارد ($P < 0.001$). نتایج آزمون Tukey HSD نشان می‌داد که تنها بین گروه‌هایی که از پرسلن Zirkonzahn استفاده شده بود (ZW و ZC)، اختلاف معنی دار وجود نداشت (جدول ۲) و در مقایسه دو به دوی گروه‌های دیگر (ZW < CW)، (CC > CW)، (ZW < CC) اختلاف معنی دار وجود داشت (جدول ۲). ارزیابی نحوه شکست نمونه‌ها تحت میکروسکوپ الکترونی نشان داد کلیه شکست‌های ایجاد شده در هر چهار گروه در حدفاصل نیبر-کور و یا در نیبر رخ داد که به دلیل حجم نمونه کم تحت آنالیز آماری قرار نگرفت.

صورت وجود هر گونه نقص از تحقیق خارج گردد. پس از شستشو با اولتراسونیک، میکروبیارهای تهیه شده در گروه‌های مختلف با چسب سیانوآکریلات به دستگاه آزمون استحکام باند ریزکشی (Instron 6022, Instron Limited, High Wycombe, UK) که خط اتصال کور-نیبر در وسط قرار بگیرد. سپس نیرو با سرعت نوک تیغه برابر 1 mm/min بر محل اتصال اعمال گردید و حداکثر نیروی لازم برای شکست باند بین ماده کور و نیبر سرامیکی ثبت شد (تصویر ۱).

علاوه بر این، ۵ نمونه از هر گروه به صورت تصادفی انتخاب و تحت میکروسکوپ الکترونی (XL 20, Philips, Eindhoven, Netherlands) بررسی شدند تا نحوه شکست در آنها (در کور، نیبر، و حدفاصل کور-نیبر) تعیین گردد (تصویر ۲). در نهایت برای آنالیز آماری داده‌ها از تست One-way ANOVA و تست‌های Post-hoc استفاده شد.



تصویر ۱ : دستگاه استحکام ریزکشی به همراه میکروبیار بعد از اعمال نیرو به میکروبیار و ایجاد شکست

از آزمون استحکام باند ریزکششی در مواد سرامیکی دندانی مستلزم دقت زیاد در نحوه ساخت نمونه‌ها و استانداردسازی روش‌های لابراتواری است تا از ایجاد ضایعات ساختاری از جمله حباب در لایه ونیری جلوگیری شود، امری که به هر حال بروز آن اجتناب‌ناپذیر است. در مطالعه حاضر، در بیشتر نمونه‌ها حباب‌های ساختاری در ونیر دیده شد که می‌تواند انحراف معیار مطالعه را در نتایج توجیه نماید.

خرد شدن و لایه لایه شدن رستوریشن‌های زیرکونیایی ونیر شده در هنگام اعمال بارهای مختلف همواره محتمل می‌باشد، بنابراین نقش عوامل تاثیرگذار در باند ونیر و کور باید مورد بررسی قرار گیرد.^(۱۴و۱۵) نتایج تحقیق حاضر نشان داد استحکام باند ریزکششی سرامیک Cercon بیشتر از آنکه تحت تاثیر کاربرد لاینر باشد به نوع پرسلن پوشاننده بستگی دارد؛ به گونه‌ای که استفاده از پرسلن استحکام باند بالاتری، چه با کاربرد لاینر و Ceram Kiss چه بدون لاینر، نسبت به Zirkonzahn ICE ایجاد کرد. این امر به لزوم سازگاری پرسلن پوشاننده با سرامیک کور تأکید می‌کند. این نتایج با یافته‌های مطالعه Aboushelib و همکاران هماهنگی ندارد چراکه آنها نشان دادند استحکام باند ونیر زیرکونیایی تحت تأثیر نوع سرامیک لایه‌ای مورد استفاده (Noble Rondo CeramKiss) نبوده است.^(۱۵) در مطالعه‌ای دیگر از این محقق گزارش شد که کاربرد مواد لاینر به صورت معنی‌داری میزان استحکام باند و نحوه شکست نمونه‌ها را تحت تأثیر قرار داده و نتایج آن نیز به نوع ماده لاینر به کار رفته بستگی داشت.^(۸) در مطالعه حاضر نیز دیده شد که در صورت کاربرد Ceram Kiss به

جدول ۱ : میانگین و انحراف معیار استحکام باند ریزکششی (مگا پاسکال) گروه‌های مختلف بر حسب نوع ونیر و لاینر

گروه	میانگین	انحراف معیار	حداقل	حداکثر
CW	۲۶/۶۱	۶/۰۸	۱۸/۶۰	۴۱/۹۰
CC	۳۴/۹۴	۸/۸۶	۲۰/۰۰	۵۵/۲۰
ZW	۱۶/۴۷	۲/۸۳	۱۰/۷۰	۲۰/۶۰
ZC	۲۰/۰۲	۳/۳۲	۱۲/۳۰	۲۵/۳۰

CW: Ceramkiss-White, CC: Ceramkiss-Colored,
ZW: Zirkonzahn -White, ZC: Zirkonzahn-Colored

جدول ۲ : نتایج آزمون توکی برای مقایسه دوی گروه‌ها

P-value	دو گروه مورد مقایسه	اختلاف میانگین
<0.001	CC - CW	۸/۳۲
<0.001	ZW - CW	۱۰/۱۴
<0.001	CC - ZC	۱۴/۹۱
<0.001	CC - ZW	۱۸/۴۶
<0.001	CW - ZC	۶/۵۹
0.08	ZC - ZW	۳/۵۵

CW: Ceramkiss-White, CC: Ceramkiss-Colored,
ZW: Zirkonzahn -White, ZC: Zirkonzahn-Colored

بحث

استفاده از آزمون استحکام باند ریزکششی مزایای زیادی دارد از جمله آن که به دلیل اندازه کوچک میکروبارها و عمودی بودن نیرو در این آزمون، با کاهش احتمال اتصال ترک‌های ساختاری آنها، یک تخمین دقیق‌تری از میزان استحکام باند کور به ونیر به دست آمده و احتمال پراکندگی داده‌ها نیز کاهش می‌یابد.^(۱۳) استفاده

در لایه کور) با نتایج تحقیقات دیگر نیز قابل مقایسه می‌باشد که در آنها شکست‌ها ناشی از ایجاد ترک در حد فاصل کور-ونیر و نیز در ونیر گزارش شده‌اند.^(۱۷و۱۸) این پدیده از دو جهت قابل تفسیر است. اول اینکه شکست ناشی از بروز ترک می‌تواند عملکرد عالی Y-TZP و مقاومت مناسب آن در برابر پخش ترک‌ها را نشان دهد. دوم اینکه، شکست ناشی از ایجاد ترک می‌تواند از استحکام باند ضعیف کور زیرکونیایی به سرامیک ونیر ناشی شود.^(۱۹) با این حال، باید دقت نمود مکانیسم واقعی و دقیق شکست‌های باند کور-ونیر هنوز به طور قطعی مشخص نشده و نیاز به تحقیقات بیشتری دارد.

نتیجه گیری

نتایج تحقیق حاضر، در مجموع برآورده از میزان استحکام باند ریزکشی کور زیرکونیایی Cercon بود که نشان داد که نوع ونیر سرامیکی اثرات معنی‌داری در میزان استحکام باند کور-ونیر داشته‌است. همچنین استفاده از لاینر برای ماده زیرکونیایی Cercon می‌تواند در افزایش استحکام باند این سرامیک موثر باشد.

تشکر و قدردانی

این مقاله حاصل بخشی از طرح تحقیقاتی تحت عنوان مقایسه استحکام باند ریزکشی ونیر سرامیکی به دو نوع کور زیرکونیایی (CAD/CAM و MAD/MAM) مصوب دانشگاه علوم پزشکی و خدمات بهداشتی درمانی تهران در سال ۱۳۸۷ به کد ۸۴۳۹-۶۹-۰۱-۸۸ می‌باشد که با حمایت دانشگاه علوم پزشکی و خدمات بهداشتی درمانی تهران اجرا شده است.

عنوان پرسلن ونیری، استفاده از لاینر، استحکام باند را افزایش داد. به عبارت دیگر، استحکام باند زیرکونیایی رنگی Cercon در مقایسه با زیرکونیای سفید به صورت آشکاری بیشتر برآورد گردید.

از طرف دیگر گزارش شده است که استفاده از لاینر در سطوح زیرکونیایی صاف قبل از فشردن سرامیک ونیری، منجر به کاهش استحکام باند کور-ونیر و افزایش فراوانی شکست‌های روی داده در حد فاصل ترمیم‌ها می‌شود.^(۲۰) در تحقیق حاضر، کاربرد لاینر بعد از سایش سطوح با ذرات آلومینیوم اکساید صورت گرفته و این امر می‌تواند تفاوت در نتیجه را توجیه نماید. از جمله ملزمات دیگر لایه ونیر هماهنگی (TEC) Thermal Expansion Coefficient کور و ونیر است. مطالعات نشان داده است که در صورت وجود اختلاف زیاد TEC این دو لایه، استرس‌های ناخواسته‌ای در یک‌چهارم تماس رخ می‌دهد. وقتی TEC لایه پرسلن بالاتر از ماده کور باشد، جدا شدن ونیر از روی کور رخ می‌دهد، اگرچه میزانی از عدم هماهنگی بین TEC این دو لایه لازم است.^(۲۱) در مطالعه حاضر این ضریب برای Zirkonzahn ICE و Ceram Kiss به ترتیب برابر $\frac{9}{2}$ و $\frac{9}{6}$ بود که اگرچه مقدار مربوط به Zirkonzahn به کور زیرکونیایی (۱۰/۵) نزدیک‌تر بود ولی شاید نتایج بهتر باند با Ceram Kiss به عدم هماهنگی مطلوب تر آن با زیرکونیا و یا استحکام بالاتر آن بازگردد.

در تحقیق حاضر در نحوه شکست نمونه‌ها در هر یک از گروه‌های ۴ گانه از هر دو نوع کوهزیو و ادھریو در سرامیک‌ها گزارش شد. این نوع شکست‌ها (بدون شکست

منابع

1. Sundh A, Molin M, Sjogren G. Fracture resistance of yttrium oxide partially-stabilized zirconia all-ceramic bridges after veneering and mechanical fatigue testing. Dent Mater 2005; 21(5): 476-82.
2. Ardlin BI. Transformation-toughened zirconia for dental inlays, crowns and bridges: Chemical stability and effect of low-temperature aging on flexural strength and surface structure. Dent Mater 2002; 18(8): 590-5.
3. Kon M, Ishikawa K, Kuwayam N. Effects of zirconia addition on fracture toughness and bending strength of dental porcelains. Dent Mater 1990; 9(2): 181-92.
4. Tinschert J, Natt G, Mautsch W, Augthum M, Spiekermann H. Fracture resistance of lithium disilicate-, alumina- and zirconia-based three-unit fixed partial dentures: A laboratory study. Int J Prosthodont 2001; 14(3): 231-8.
5. Kosma T, Oblak C, Jevnikar P, Funduk N, Marion L. The effect of surface grinding and sandblasting on flexural strength and reliability of Y-TZP zirconia ceramic. Dent Mater 1999; 15(6): 426-33.
6. Fischer H, Weber M, Marx R. Lifetime prediction of all-ceramic bridges by computational methods. J Dent Res 2003; 82(3): 238-42.
7. Aboushelib MN, Kleverlaan CJ, Feilzer AJ. Microtensile bond strength of different components of core veneered all-ceramic restorations. Dent Mater 2005; 21(10): 984-91.
8. Aboushelib MN, Kleverlaan CJ, Feilzer AJ. Microtensile bond strength of different components of core veneered all-ceramic restorations. Part II: Zirconia veneering ceramics. Dent Mater 2006; 22(9): 857-63.
9. Guazzato M, Albakry M, Ringer SP, Swain MV. Strength, fracture toughness and microstructure of a selection of all-ceramic materials. Part II. Zirconia-based dental ceramics. Dent Mater 2004; 20(5): 449-56.
10. Bocanegra-Bernal MH, Diaz de la Torre S. Review: Phase transitions in zirconium dioxide and related materials for high performance engineering ceramics. J Mater Sci 2002; 37: 4947-71.
11. Heffernan MJ, Aquilino SA, Diaz-Arnold AM, Haselton DR, Stanford CM, Vargas MA. Relative translucency of six all-ceramic systems. Part II: Core and veneer materials. J Prosthet Dent 2002; 88(1): 10-5.
12. Milleding P, Karlsson S, Nyborg L. On the surface elemental composition of non-corroded and corroded dental ceramic materials *in vitro*. J Mater Sci Mater Med 2003; 14(6): 557-66.
13. Dundar M, Ozcan M, Gokce B, Comlekoglu E, Leite F, Valandro LF. Comparison of two bond strength testing methodologies for bilayered all-ceramics. Dent Mater 2007; 23(5): 630-6.
14. Vult von Steyern P, Carlson P, Nilner K. All-ceramic fixed partial dentures designed according to the DC-Zirkon technique. A 2-year clinical study. J Oral Rehabil 2005; 32(3): 180-7.
15. Aboushelib MN, Kleverlaan CJ, Feilzer AJ. Microtensile bond strength of different components of core veneered all-ceramic restorations. Part 3: double veneer technique. J Prosthodont 2008; 17(1): 9-13.
16. Fischer J, Stawarzcyk B, Trottmann A, Hämmeler CH. Impact of thermal misfit on shear strength of veneering ceramic/zirconia composites. Dent Mater 2009; 25(4): 419-23.
17. Kim B, Zhang Y, Pines M, Thompson VP. Fracture of porcelain-veneered structures in fatigue. J Dent Res 2007; 86(2): 142-6.

18. Studart AR, Filser F, Kocher P, Luthy H, Gauckler LI. Mechanical and fracture behavior of veneer-framework composites for all-ceramic dental bridges. Dent Mater 2007; 23(1): 115-23.
19. White SN, Miklus VG, McLaren EA, Lang LA, Caputo AA. Flexural strength of a layered zirconia and porcelain dental all-ceramic system. J Prosthet Dent 2005; 94(2): 125-31.

Archive of SID